

پیشنهاد ضریب رفتار برای سیستم دوگانه‌ی قاب خمی فولادی با شکل‌پذیری متوسط و مهاربند هم‌گرا با میراگر اصطکاکی پال

مهندسى عمران، نرسن، (رسانی ۱۳۹۴/۰۹/۰۹ - ۱۳۹۳/۰۳/۰۱)، دوری ۲، شماره ۲/۳، ص.

سید مهدی زهوانی* (استاد)

دانشکده‌ی مهندسی عمران، دانشگاه تهران

حسین اعلائی (دانشجوی دکتری)

دانشکده‌ی مهندسی عمران، دانشگاه آزاد اسلامی واحد قائم شهر

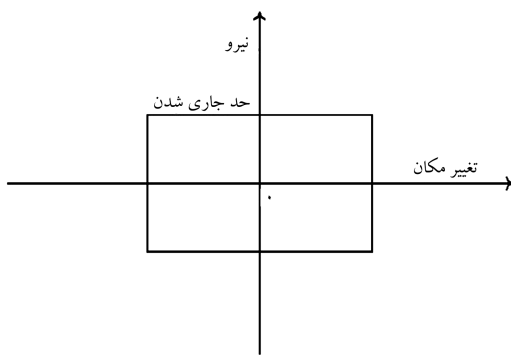
ضریب رفتار در استانداردهای تحلیل و طراحی میان جذب انرژی لرزه‌ی ورودی از زمان تشکیل اولین مفصل خمیری تا مکانیزم خرامی است و از آن برای کاهش نیروهای طراحی استفاده می‌شود. پارامترهای مختلف چون ضریب کاهش در اثر شکل‌پذیری، مقاومت افزون و درجه‌ی نامعینی در تعیین مقدار آن مؤثرند. میراگرها نیز به عنوان ابزار بهسازی لرزه‌ی باعث استهلاک بخشی از انرژی ورودی زلزله می‌شوند. تاکنون پژوهش‌های بسیاری در حوزه‌ی ضریب رفتار صورت گرفته است، ولی نقش میراگر اصطکاکی و تأثیر آن در پارامترهای ضریب رفتار هنوز به خوبی بررسی نشده است. در این نوشتار، با درنظرگرفتن میراگر اصطکاکی پال در طبقات و با استفاده از تحلیل‌های غیرخطی، تأثیر این میراگر در ضریب رفتار قاب‌های دو بعدی فولادی ۳، ۶ و ۹ طبقه دارای ۵ و ۷ دهانه‌ی طراحی شده براساس پیش‌نویس ویرایش چهارم استاندارد ۲۸۰۰ و آخرین ویرایش مبحث ششم و دهم و تجدیدنظر اول نشریه ۳۶۰ مورد بررسی قرار گرفته است. که حکایت از بهبود ضریب رفتار تا ۱۰٪ در سیستم‌های دوگانه‌ی فولادی و مهاربندی هم‌گرا به همراه میراگر پال نسبت به نمونه‌های قاب بدون میراگر دارد.

واژگان کلیدی: ضریب رفتار، میراگر اصطکاکی پال، سیستم دوگانه‌ی فولادی، مهاربند هم‌گرا، تحلیل استاتیکی غیرخطی، تحلیل دینامیکی غیرخطی.

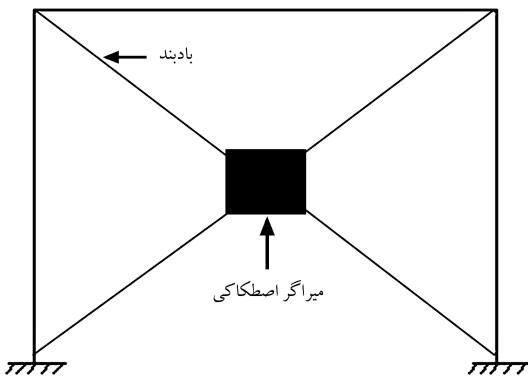
۱. مقدمه

در حین وقوع زلزله مقدار قابل توجهی انرژی به سازه وارد می‌شود. در روش‌های معمولی طراحی ساختمان‌ها در برابر زلزله، نیاز ساختمان از طریق سختی، شکل‌پذیری و میرایی سازه تأمین می‌شود. استفاده از روش‌های ارجاعی در تحلیل و طراحی سازه‌های مقاوم در برابر زلزله به لحاظ سادگی و کاربردی بودن اهمیت ویژه‌ی دارد. در این نوع روش‌ها با کاهش نیروهای طراحی، که میزان آن وابسته به نوع سیستم سازه‌ی است، عملی‌شایسته ورود سازه‌ها به محدوده‌ی رفتار غیرخطی مصالح و انتلاف بخشی از انرژی ورودی به سیستم از طریق آن فراهم می‌شود. به این ترتیب، از انهدام سازه جلوگیری می‌شود؛ ولی بعد از وقوع زلزله اگر ساختمان نیازمند ترمیم و بازسازی باشد، مستلزم صرف هزینه‌ی زیاد است. بنابراین، به منظور کاستن از صدمات سازه‌ی در حین وقوع زلزله استفاده از میراگرهای جاذب انرژی پیشنهاد شده است. ایده‌ی اولیه‌ی استفاده از سیستم‌های جاذب انرژی به اوایل قرن بیستم میلادی بر می‌گردد.

* نویسنده مسئول
تاریخ: دریافت ۹/۷/۱۳۹۳، اصلاحیه ۱/۱۰، پذیرش ۲۷/۱۰/۱۳۹۳.



شکل ۱. حلقه‌ی هیسترزیس میراگر اصطکاکی.



شکل ۲. قاب با مهاربند قطری و میراگر اصطکاکی.

۳. تعریف مؤلفه‌های ضریب رفتار

هر آینین‌نامه‌ی طراحی لزه‌بی معیارهایی برای طراحی سیستم‌های سازه‌ی ارائه می‌دهد. در این معیارها نوع سیستم و جنبه‌های ویژه‌ی آن مدنظر خواهد بود، که نحوه‌ی رفتار سیستم را تعیین می‌کنند. در بیشتر آینین‌نامه‌ها از جمله آینین‌نامه‌ی طراحی ساختمان‌ها در برایر زلزله (استاندارد ۲۸۰۰ ایران)، روش متعارف تعیین نیروهای جانبی مبتنی بر روش استاتیکی معادل مطابق رابطه‌ی ۱ است. روش به دست آوردن نیروی معادل استاتیکی در بیشتر آینین‌نامه‌ها بر مبنای طراحی براساس ضریب رفتار R است.

$$V = C \cdot W, \quad C = \frac{ABI}{R} \quad (1)$$

که در آن، A نسبت شتاب مبنای طرح، B ضریب بازتاب، I ضریب اهمیت و R ضریب رفتار سازه است. استاندارد ۲۸۰۰ نیز مثل برخی آینین‌نامه‌های لزه‌بی معتبر دیگر مقادیر مختلفی را برای تعیین ضریب رفتار معرفی می‌کند. ATC ۱۹ و ATC ۳۴ از روش ساده‌ی به صورت ضرب ۳ پارامتر ارائه شده در رابطه‌ی ۲ برای تعیین ضریب رفتار استفاده می‌کنند:^[۱۶، ۱۷]

$$R = R_\mu \cdot R_S \cdot R_R \quad (2)$$

که در آن، R_μ ضریب کاهش در اثر شکل پذیری، R_s ضریب مقاومت افزون و R_R ضریب نامعینی ساختمان است. شکل ۳، منحنی نیرو - تغییرمکان به دست آمده از یک تحلیل استاتیکی غیرخطی به همراه نمودار دوخطی ایده‌آل را نشان می‌دهد. همچنین ویتاکر در سال ۱۹۹۹ برای درنظرگرفتن آثار ناشی از کاربرد میراگر الحاقی در سیستم سازه‌یی، استفاده از پارامتر R را به صورت رابطه‌ی ۳ پیشنهاد

مجهز به میراگرهای اصطکاکی سیلندری به بررسی پرداخته‌اند.^[۱۰] در سال‌های ۲۰۱۲ و ۲۰۱۳ در پژوهش‌های دیگری به بررسی ضرایب رفتار در سیستم‌های قاب خمشی فولادی ویژه به همراه میراگر هیسترزیس و بادبند‌های کمانش ناپذیر پرداخته شده است، که در آن ضرایب رفتار قاب خمشی فلزی بدون میراگر ۵/۹۵ اشاره شده است.^[۱۱] همچنین در سال ۲۰۱۳ محققان به بررسی تأثیر میراگر اصطکاکی در ضرایب رفتار قاب‌های فولادی مهاربند شده با بادبند شوروں در ساختمان‌های ۵، ۸ و ۱۰ طبقه براساس مقادیر مختلف بار لغزش پرداختند و سیستم قاب خمشی دوگانه با مهاربند شوروں به همراه میراگر پال و براساس ویرایش سوم استاندارد ۲۸۰۰ را مورد مطالعه قرار دادند و ضرایب رفتار براساس مقادیر مختلف بار لغزش از ۴/۵ تا ۱۲/۵ برای سازه‌ی ۵ طبقه و ۴/۵ تا ۸/۵ برای سازه‌ی ۸ طبقه و ۴/۵ تا ۷ برای سازه‌ی ۱۰ طبقه به دست آمده است.^[۱۲] پژوهشگرانی نیز در سال ۲۰۱۴ به بررسی تأثیر میراگر اصطکاکی در رفتار لزه‌بی مخازن پرداخته‌اند.^[۱۳] ضرایب کاهش نیرو که نقش مهمی در طراحی سازه‌های مقاوم در برایر نیروهای لزه‌بی دارد، در استاندارد ۲۸۰۰ و UBC ۹۷ با نام ضرایب رفتار و در گزارش NEHRP با نام ضرایب کاهش پاسخ و در گزارش SEAOC به نام ضرایب عملکرد سیستم یا المان به کار رفته است. با توجه به آنکه در مطالعات پیشین سیستم‌های سازه‌یی متفاوت به همراه میراگرهای مختلفی بررسی شده‌اند، اما تأثیر میراگر اصطکاکی در پارامترهای ضرایب رفتار کاملاً بررسی نشده است، لذا در این پژوهش مفاهیم مربوط به پارامترهای تأثیرگذار در ضرایب رفتار و ضرایب رفتار قاب مجهز به همراه اصطکاکی پال در مقایسه با سیستم دوگانه‌ی فولادی قاب خمشی به همراه مهاربند هم‌گرا مورد ارزیابی قرار گرفته است. طراحی‌ها براساس پیش‌نویس ویرایش چهارم استاندارد ۲۸۰۰^[۱۴] و ضوابط جدید آخرین ویرایش مبحث ششم،^[۱۵] و مبحث دهم مقررات ملی ساختمان با درنظرگرفتن شرایط حدی،^[۱۶] و تجدیدنظر اول ویرایش یکم نشریه‌ی ۳۶۰^[۱۷] انجام شده است. بدین منظور میراگر اصطکاکی پال با برآهای لغزش بهینه به قاب مذکور اضافه شده و با استفاده از نرم‌افزار SAP ۲۰۰۰ تحت تحلیل‌های استاتیکی و دینامیکی غیرخطی قرار گرفته است.

۲. میراگر اصطکاکی پال

میراگرهای وابسته به تغییرمکان به دو دسته‌ی میراگرهای سلیمی و اصطکاکی تقسیم می‌شوند. با توجه به نصب و تعویض نسبتاً ارزان و ساده، سیستم‌های اصطکاکی نسبت به سیستم‌های سلیمی دارای مزیت بیشتری هستند. سیستم ابداعی میراگر اصطکاکی پال اولین بار توسط دو کانادایی در سال ۱۹۸۲ ارائه شده است.^[۱۸] میراگرهای اصطکاکی حلقه‌ی ایجاد می‌کنند. مدل هیسترزیس مکروسکوپیک این میراگرها مطابق تئوری کولمب است. یکی از مزیت‌های میراگر اصطکاکی پال نسبت به سایر میراگرها با توجه به نمودار هیسترزیس مستطبی در شکل ۱، اثلاف انرژی بیشتر آن در هر چرخه است.

میراگرهای اصطکاکی پال طوری طراحی می‌شوند که حین زلزله‌های خفیف یا باد نلغزند، اما حین زلزله‌های شدید تحت نیروی از پیش تعیین شده شروع به لغزش کنند. این لغزش با استهلاک انرژی زلزله به صورت مکانیکی همراه است و از جاری شدن مهاربند و دیگر اعضاء سازه جلوگیری می‌کند (شکل ۲). زمانی که بار لغزش میراگر زیاد باشد، اصطکاک در آن صفر خواهد بود و هیچ‌گونه لغزشی اتفاق نمی‌افتد؛ و اگر بار لغزش خیلی کم باشد، مقدار اثلاف انرژی قابل صرف نظر کردن است.

که در آن، ϕ تابعی از μ , T و شرایط خاک در محل است و از رابطه‌ی ۶ به دست می‌آید:

$$\phi = 1 + \frac{1}{12T - \mu T} - \frac{2}{5T} e^{-\frac{1}{2}(\ln T - 0.1)^2} \quad (6)$$

۲.۱.۳. ضریب مقاومت افزون (R_s)

در صورتی که رابطه‌ی نیرو - جابه‌جایی برای یک تحلیل استاتیکی غیرخطی موجود باشد، نیروی برش پایه (V_y) و برش پایه طراحی برای ساختمان در تراز مقاومت (V_w) موجود است، که با استفاده از این اطلاعات، ضریب مقاومت افزون براساس رابطه‌ی ۷ محاسبه می‌شود:

$$R_s = \frac{V_y}{V_w} \quad (7)$$

مقاومت افزونی که در رابطه‌ی ۷ ارائه شده است، عواملی نظیر اختلاف بین تششی جاری شدن و تششی واقعی جاری شدن، عدم اطمینان موجود در مدل‌های ریاضی، و اثر المان‌های غیرسازه‌ی را در نظر نمی‌گیرد. بهمنظور درنظرگرفتن عوامل ذکر شده، مقدار ضریب مقاومت افزون به دست آمده از این روش را می‌توان توسط چند ضریب اصلاحی به ضریب مقاومت افزون واقعی سازه تبدیل کرد.^[۱۲]

۴. مدل تحلیلی

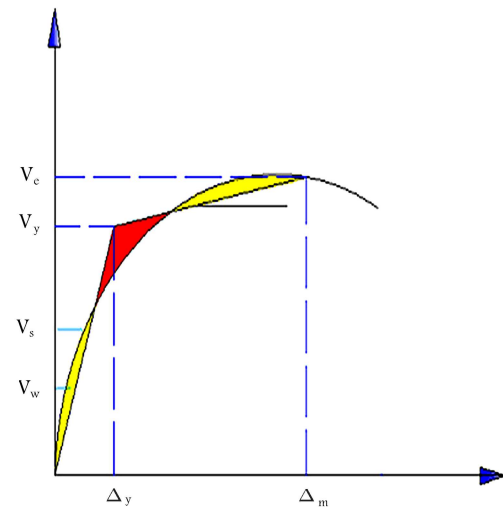
درین بررسی ابتدا نمونه‌های قاب‌های خمشی فولادی ۳، ۶ و ۹ طبقه در ۳ حالت ۳، ۵ و ۷ دهانه مورد بررسی قرار گرفته‌اند. سپس در مرحله‌ی بعد با درنظرگرفتن مهاربند هم‌گرای قطری در دهانه‌ی وسط و با شکل‌بندی متوسط، دوباره تحلیل و طراحی انجام شده است. در قاب مورد بررسی که یک قاب کناری سازه است، تمامی دهانه‌ها ۵ متر و ارتفاع طبقات ۳ متر در نظر گرفته شده است. این تذکر لازم است که با رگذاری و طراحی سازه براساس پیش‌نویس ویرایش چهارم استاندارد ۱۲۸۰۰ ایران، آینه‌های مبحث ششم مقررات ملی و مبحث دهم مقررات ملی ساختمان (LRFD) بوده و کلیه‌ی ضوابط مربوط به طراحی قاب با مهاربند هم‌گرای قطری مورد ارزیابی قرار گرفته است. مشخصات با رگذاری عبارت‌اند از:

$$DL = 550 \frac{\text{kg}}{\text{m}^2}, \quad LL = 300 \frac{\text{kg}}{\text{m}^2} \quad WALL = 300 \frac{\text{kg}}{\text{m}^2}$$

که در آن، DL شدت بار مرده، LL شدت بار زنده، و $WALL$ بار دیوار است. خاک منطقه نوع II و تاچیه با خطر نسیخ خیلی زیاد در نظر گرفته شده است.

برای مدل سازی میراگر از المان خمیری ون (WEN) در نرم‌افزار SAP ۲۰۰۰ استفاده شده است. ازویزگی‌های المان ون این است که می‌تواند برای هر درجه‌ی آزادی دلخواه معروفی شود و رفتار المان در هر جهت مستقل از جهت دیگر است و در آن اثری ندارد. با درنظرگرفتن سختی میراگر و بار لغزش بهینه، که براساس روش فیلیت راولت و همکاران (۱۹۹۰)،^[۱۳] به دست آمده است، به بررسی تأثیر میراگر پرداخته شده است.

در این مرحله صحبت‌سنگی روابط براساس روش فیلیت راولت و همکاران به منظور طراحی میراگر اصطکاکی پال که در یک سازه‌ی ۳ طبقه با برش لغزش



شکل ۳. منحنی ظرفیت یک مدل سازه‌ی و دوخطی کردن آن.

کرده است:^[۲۱]

$$R = R_\mu \cdot R_S \cdot R_R \cdot R_\epsilon \quad (3)$$

که در آن، R_ϵ ضریب کاهش در نیروهای طراحی لرزه‌ی ناشی از افزودن میراگر الحاقی به سیستم (مازد بر ۵٪ میرایی ذاتی مصالح) است.

۱۰.۳. پارامترهای مؤثر در ضریب رفتار

برای معرفی مفهوم ضریب رفتار پارامترهای مؤثر در آن، رابطه‌ی نیرو - تغییرمکان برای یک قاب طبق شکل ۳ مورد بررسی قرار می‌گیرد. چنین منحنی را که بیان‌گر پاسخ یک قاب چند درجه آزادی است و در معرض تغییرمکان‌های افزایشی قرار گرفته است، می‌توان با استفاده از تحلیل استاتیکی غیرخطی به دست آورد. منحنی به دست آمده، غالباً با یک منحنی دوخطی تقریب زده می‌شود.

۱۰.۳. ضریب کاهش در اثر شکل‌بندی μ

یکی از پارامترهایی که می‌توان از شکل ۳ به دست آورد، ضریب کاهش در اثر شکل‌بندی است. شکل‌بندی تابعی از رفتار سازه پس از جاری شدن اولیه مصالح است، که در بارهای دینامیکی و بهویژه زلزله از عوامل ضروری برای عدم فروریش سازه محسوب می‌شود. براین اساس ضریب شکل‌بندی را می‌توان نسبت یشینه‌ی تغییرمکان قابل تحمل سازه به تغییرمکان حد تسلیم بیان کرد (رابطه‌ی ۴):

$$\mu = \frac{\Delta_{\max}}{\Delta_y} \quad (4)$$

پژوهش‌های زیادی بر روی دو مؤلفه اصلی ضریب رفتار R_μ و R_S ، مخصوصاً ضریب کاهش در اثر شکل‌بندی (R_μ) انجام شده است. از این میان می‌توان به پژوهش‌های میراندا و برتو (۱۹۹۴)، ناسارو کلاؤنسکار (۱۹۹۲) و نیومارک (۱۹۷۹) اشاره کرد، که هر کدام از آنها روابط مختلفی بر حسب دوره‌ی تناوب اصلی سازه، میرایی، نوع خاک و شکل‌بندی سازه ارائه کرده‌اند. در این پژوهش از روابط میراندا و برتو (۱۹۹۴) در سایت رسمی برای تعیین ضریب کاهش شکل‌بندی (رابطه‌ی ۵) استفاده شده است.^[۷]

$$R_\mu = \frac{\mu - 1}{\phi} + 1 \quad (5)$$

(pushover) با درنظرگرفتن یک الگوی بار نقلی اولیه و الگوی اعمال بار جانبی مطابق با مود اول بر مبنای نشریه‌ی ۳۶۰ قرار گرفته است. در این پژوهش، سازه بر مبنای تغییرمکان هدف پوش داده شده و منحنی دو خطی براساس تغییرمکان هدفی است که مطابق دستورالعمل بهسازی لرزه‌یی، به روش ضرباب تغییرمکان بهدست آمده است. ولی از آنجا که سازه پس از رسیدن به حد اینی جانی همچنان ظرفیت باربری جانبی دارد، لذا سازه تا رسیدن به حد اینی جانی هل داده شده و نتایج در این حد نیز مورد ارزیابی قرار گرفته است. همچنین برای انجام یک مقایسه‌ی صحیح، نمونه‌ها تحت تحلیل استاتیکی غیرخطی تا حد اینی جانی در قاب‌های بدون میراگر نیز قرار گرفته‌اند. سپس در ادامه با داشتن نمودار منحنی ظرفیت سازه مشابه، که از انجام تحلیل‌های استاتیکی غیرخطی حاصل شده است، می‌توان کلیه‌ی پاسخ‌های لرزه‌یی سازه‌یی مربوط به این پژوهش را از آن استخراج کرد. بدین منظور در Excel برنامه‌ی نوشته شده است که می‌توان با واردکردن مقادیر حاصل از تحلیل پوش‌آور و بر مبنای روش تساوی انرژی که در شکل ۳ نشان داده شده است، برای دو خطی کردن منحنی پوش‌آور استفاده و ضریب رفتار را بر مبنای آین نامه ATC ۱۹ محاسبه کرد.

یک نمونه قاب معرفی شده با سیستم دوگانه‌ی فولادی قاب خمشی با شکل بذری متوسط و مهاربند هم‌گرا به همراه میراگر اصطکاکی پال در شکل ۴ وضعیت تشکیل مفاصل در یکی از نمونه‌ها تحت تحلیل استاتیکی غیرخطی در شکل ۵ نشان داده شده است.

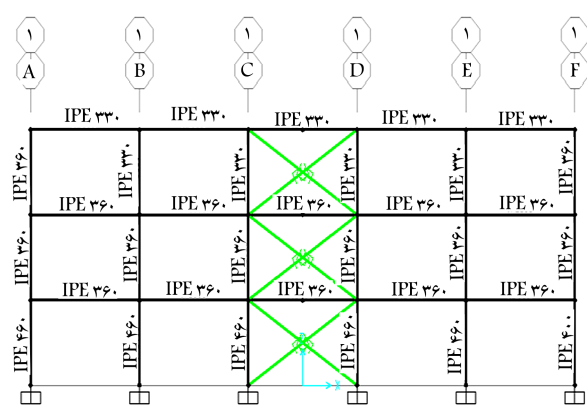
۲.۴. تحلیل دینامیکی غیرخطی

در این پژوهش برای بررسی رفتار واقعی سازه‌ها و بررسی بهتر نتایج و تدقیق تحلیل، از تحلیل دینامیکی غیرخطی در تمام مدل‌ها استفاده شده است. بدین منظور براساس استاندارد ۲۸۰۰، سه زوج شتاب‌نگاشت منطبق با منطقه‌ی مورد بررسی، شتاب‌نگاشت‌های طبس، چی چی و نورتیریج در نظر گرفته شده و در شکل ۶، نمودار شتاب‌های طیفی مربوط به آنها نشان داده شده و همه‌ی مدل‌ها تحت اثر این زلزله‌ها، تحلیل دینامیکی غیرخطی شده‌اند. در این نوع تحلیل، از تحلیل دینامیکی غیرخطی فرازینده (IDA) استفاده شده است و تمامی نتایج با درنظرگرفتن افزایش گام به گام شتاب‌نگاشت تا مرحله‌ی رسیدن به حد اینی جانی استخراج شده‌اند. استخراج نتایج براساس تغییرمکان و برش پایه‌ی بیشینه در هر گام اعمالی شتاب‌نگاشت است. همچنین با توجه به اینکه در روش فیلیت راولت و همکاران به منظور طراحی میراگر اصطکاکی پال محدودیت ارتفاع تا ۱۰ طبقه وجود دارد، مدل‌هایی که در این بررسی مورد مطالعه قرار گرفته‌اند، کمتر از ۱۰ طبقه انتخاب شده‌اند.

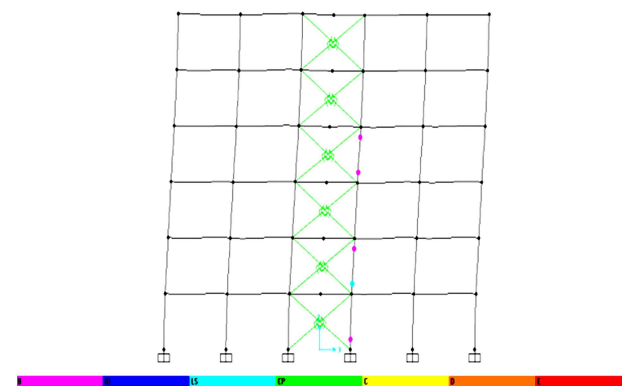
وضعیت تشکیل مفاصل در یکی از نمونه‌ها تحت تحلیل دینامیکی غیرخطی در شکل ۷ نشان داده شده است.

۵. نتایج تحلیل‌ها

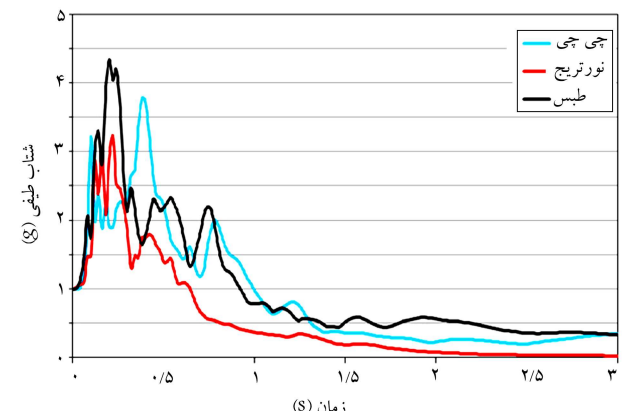
با توجه به قاب‌های معرفی شده با سیستم دوگانه‌ی فولادی قاب خمشی با شکل بذری متوسط و مهاربند هم‌گرا به همراه میراگر اصطکاکی پال، منحنی‌های پوش‌آوری که از انجام تحلیل استاتیکی غیرخطی و منحنی‌های ظرفیت که از تحلیل دینامیکی فرازینده بهدست آمده‌اند، در شکل‌های ۸ الی ۱۶ ارائه شده‌اند. نمودار استاتیکی



شکل ۴. مدل نمونه برای قاب کناری سازه‌ی ۳ طبقه در ۵ دهانه.



شکل ۵. وضعیت تشکیل مفاصل خمیری در نمونه‌ی سازه‌ی ۶ طبقه و ۵ دهانه تحت تحلیل استاتیکی غیرخطی.

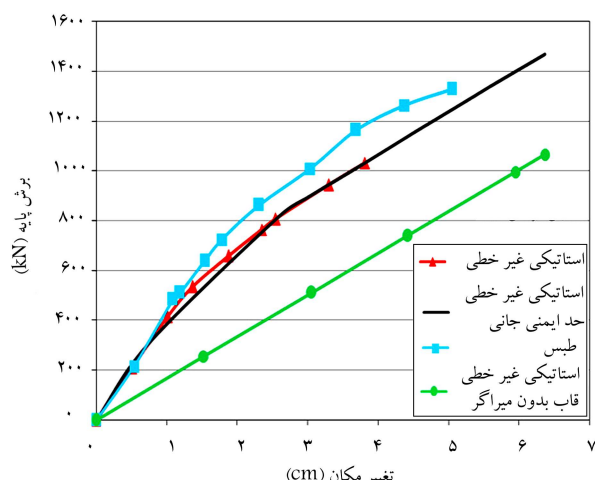


شکل ۶. تغییرات شتاب طیفی با توجه به دوره‌ی تناوب سازه‌ها.

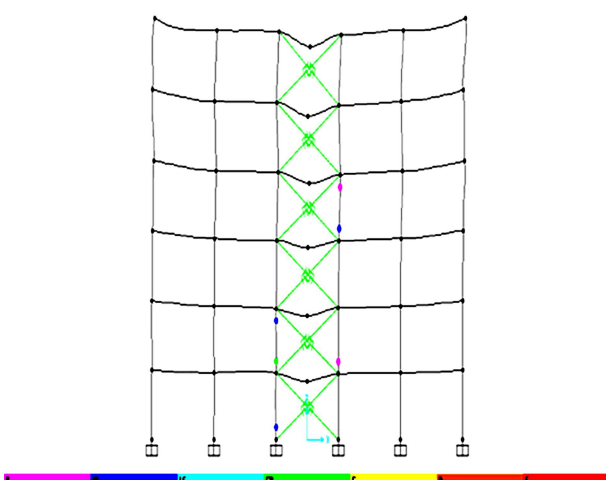
۹۰ کیلونیوتون در منطقه با خطر نسبی کم در نظر گرفته شده است، انجام شده است.^[۲۲]

۶.۱. تحلیل استاتیکی غیرخطی

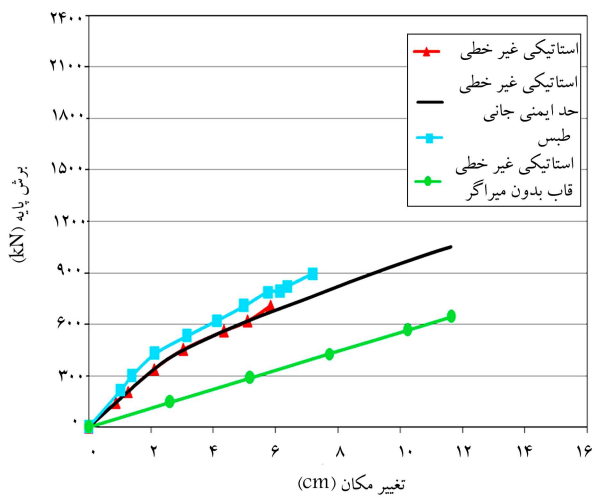
پس از انجام تحلیل خطی و طراحی هر قاب، مفاصل خمیری مطابق با تجدیدنظر اول ویرایش اول دستورالعمل بهسازی لرزه‌یی (نشریه‌ی ۳۶۰) در نقاط موردنظر به سازه اختصاص یافته است. سپس هر قاب تحت تحلیل استاتیکی غیرخطی



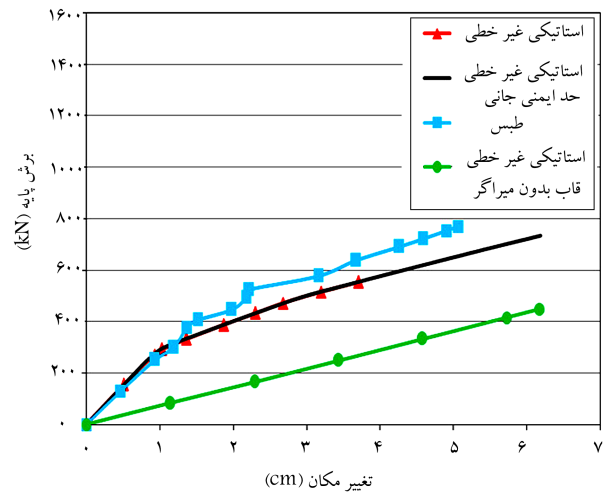
شکل ۱۰. منحنی ظرفیت سازه‌ی ۳ طبقه‌ی ۷ دهانه تحت تحلیل‌های استاتیکی و دینامیکی غیرخطی.



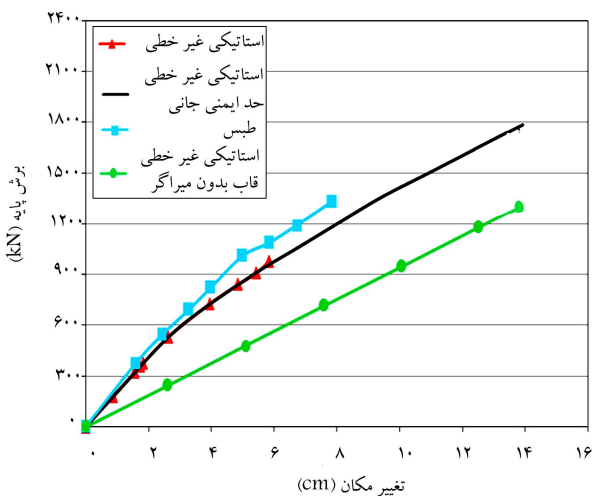
شکل ۷. وضعیت تشکیل مفاصل خمیری در نمونه‌ی سازه‌ی ۶ طبقه و ۵ دهانه تحت تحلیل دینامیکی غیرخطی.



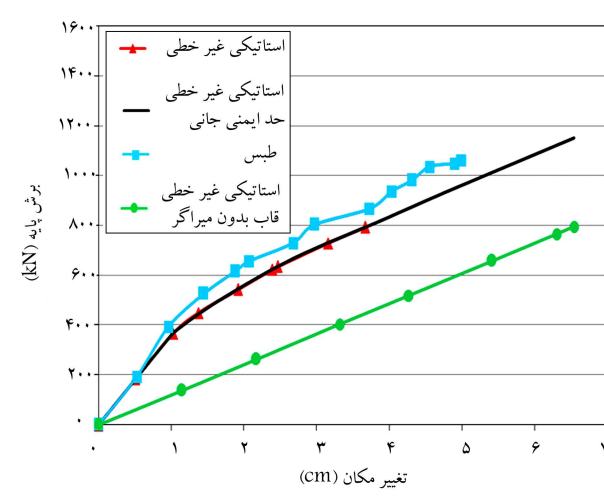
شکل ۱۱. منحنی ظرفیت سازه‌ی ۶ طبقه‌ی ۳ دهانه تحت تحلیل‌های استاتیکی و دینامیکی غیرخطی.



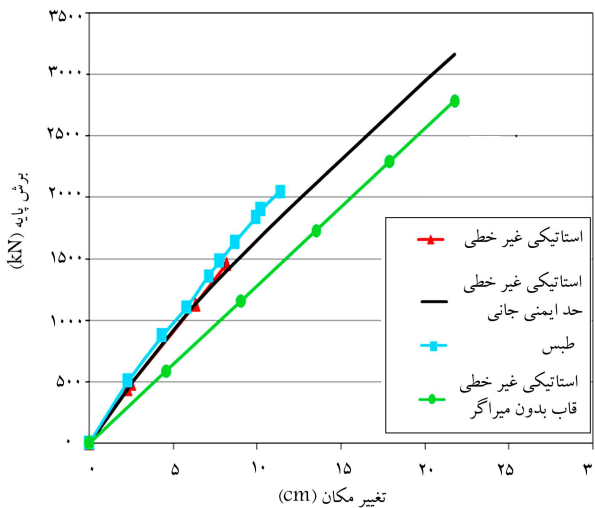
شکل ۸. منحنی ظرفیت سازه‌ی ۳ طبقه‌ی ۳ دهانه تحت تحلیل‌های استاتیکی و دینامیکی غیرخطی.



شکل ۱۲. منحنی ظرفیت سازه‌ی ۶ طبقه‌ی ۵ دهانه تحت تحلیل‌های استاتیکی و دینامیکی غیرخطی.



شکل ۹. منحنی ظرفیت سازه‌ی ۳ طبقه‌ی ۵ دهانه تحت تحلیل‌های استاتیکی و دینامیکی غیرخطی.



شکل ۱۶. منحنی ظرفیت سازه‌ی ۹ طبقه‌ی ۷ دهانه تحت تحلیل‌های استاتیکی و دینامیکی غیرخطی.

غیرخطی بیان‌گر حد تغییرمکان هدف و نمودار استاتیکی غیرخطی حد ایمنی جانی، بیان‌گر تغییرمکان در حد ایمنی جانی است. نکته‌ی قابل توجه در تحلیل مدل‌ها آن است که در تغییرمکان هدف، مفصل خمیری یا تشکیل نشده است، یا در مرحله‌ی خدمت‌رسانی بی‌وقفه قرار دارد. لذا نمونه‌ها با توجه به ظرفیت باربری لرزه‌ی تا حد ایمنی جانی و تشکیل مفاصل خمیری در آن سطح هل داده شده و مورد بررسی قرار گرفته‌اند، که نشان‌دهنده‌ی عملکرد مناسب میراگر است.

همچنین در بررسی نتایج تحلیل دینامیکی غیرخطی، مطابق با استاندارد ۲۸۰۰ و در نظرگرفتن ۳ روز شتاب نگاشت، فقط نتایج بیشینه‌ی پاسخ در نمونه‌ها که ناشی از شتاب نگاشت طبس است، ارائه شده است.

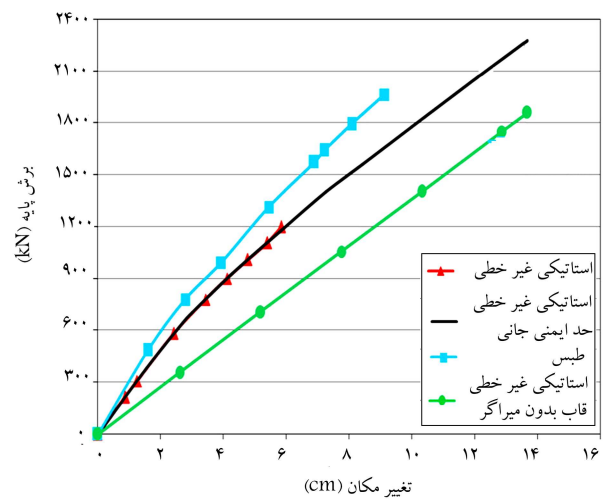
وضعیت تشکیل حلقه‌ی هیستوزیس میراگر اصطکاکی پال تحت تحلیل دینامیکی غیرخطی در یکی از نمونه‌ها که سازه‌ی ۶ طبقه و ۵ دهانه است، در شکل ۱۷ نشان داده شده است.

در جدول‌های ۱ و ۲ مقادیر مهم به دست آمده از منحنی‌های ظرفیت ناشی از تحلیل‌های استاتیکی غیرخطی جهت تعیین ضربی رفتار در حدود تغییرمکان هدف و ایمنی جانی و در جدول ۳ مقادیر اجزاء ضربی رفتار در حالت بررسی قاب بدون میراگر ارائه شده است.

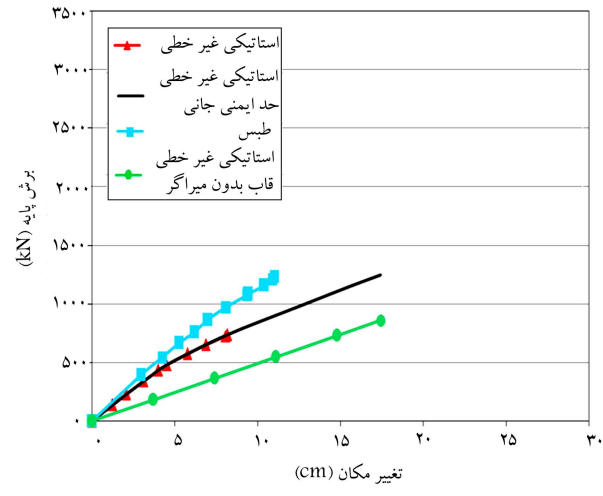
در شکل‌های ۱۸ و ۱۹ ضربی شکل‌بندی و مقاومت افزون در حد تغییرمکان هدف و ایمنی جانی تحت تحلیل استاتیکی غیرخطی نشان داده شده است.

ضربی رفتار به دست آمده از تحلیل استاتیکی غیرخطی در تمامی نمونه‌ها که با توجه به نتایج ارائه شده در جدول‌های ۱ الی ۳ است، در نمودارهای ارائه شده در شکل ۲۰ آمده شده است.

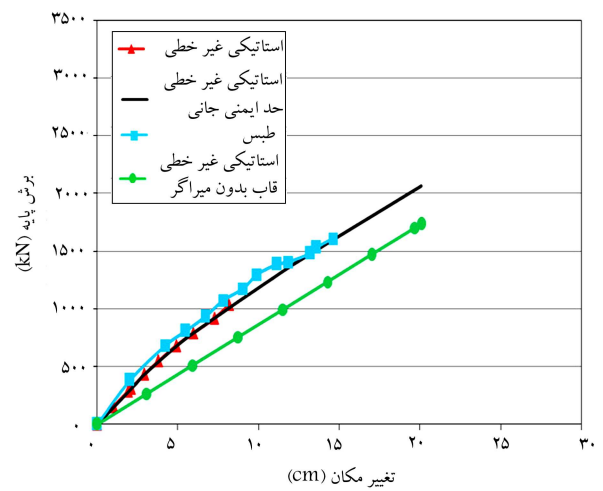
در تمامی نمونه‌ها، نمودار نیرو - تغییرمکان حاصل از تحلیل دینامیکی فراینده تطابق متناسبی را با نتایج حاصل از تحلیل استاتیکی نشان داده است، که تا حد تغییرمکان هدف، با افزایش تعداد دهانه‌ها و طبقات، ضربی مقاومت افزون و رفتار کاهش می‌یابند. در پژوهش محمودی و عبدی (۲۰۱۲)، [۱۱] با افزایش طبقات هر دو ضربی شکل‌بندی و مقاومت افزون، با افزایش طبقات کاهش یافته‌اند، ولی در پژوهش محمودی و زارع (۲۰۱۳)، [۱۲] با افزایش طبقات ضربی مقاومت افزون کاهش، ولی ضربی شکل‌بندی افزایش یا کاهش یافته است.



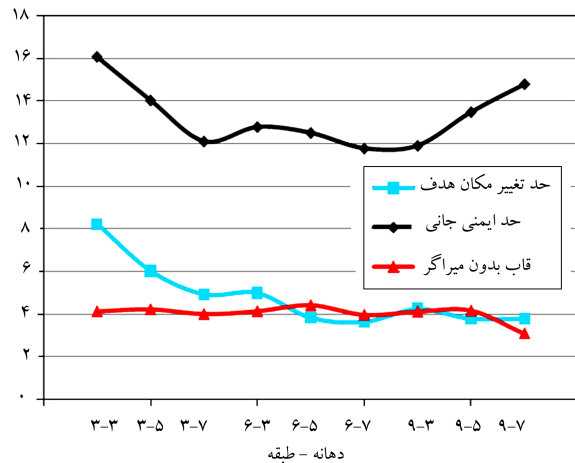
شکل ۱۳. منحنی ظرفیت سازه‌ی ۶ طبقه‌ی ۷ دهانه تحت تحلیل‌های استاتیکی و دینامیکی غیرخطی.



شکل ۱۴. منحنی ظرفیت سازه‌ی ۹ طبقه‌ی ۳ دهانه تحت تحلیل‌های استاتیکی و دینامیکی غیرخطی.



شکل ۱۵. منحنی ظرفیت سازه‌ی ۹ طبقه‌ی ۵ دهانه تحت تحلیل‌های استاتیکی و دینامیکی غیرخطی.



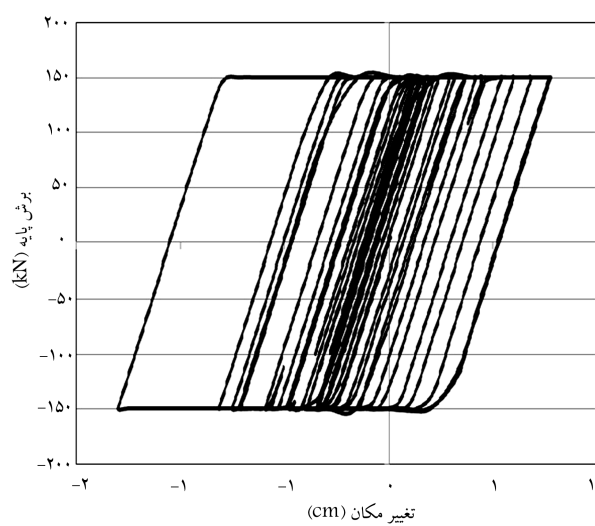
شکل ۲۰. ضرایب رفتار به دست آمده از تحلیل استاتیکی غیرخطی در تمامی نمونه‌ها.

در نمونه‌های سازه‌های ۳ و ۶ طبقه، در حد اینمی جانی با افزایش تعداد دهانه‌ها و طبقات، ضرایب رفتار کاهش یافته و از حدود ۱۶ به ۱۲ و از ۱۲/۸ به ۱۱/۸ رسیده است، ولی در نمونه‌های سازه‌ی ۹ طبقه این روند معکوس شده و ضرایب رفتار از ۱۱/۹ به ۱۴/۸ افزایش یافته است. در نمونه‌های سازه‌های ۳ و ۶ طبقه، با افزایش تعداد دهانه‌ها، ضریب مقاومت افزون روند کاهشی داشته، ولی در سازه‌ی ۹ طبقه این روند افزایشی بوده است. این فرایند در مورد ضریب شکل‌پذیری در نمونه‌های ۳، ۶ و ۹ طبقه معکوس بوده و در نمونه‌های سازه‌های ۳ و ۶ طبقه، با افزایش تعداد دهانه‌ها، ضریب مقاومت افزون افزایش یافته، ولی در سازه‌ی ۹ طبقه این مقدار کاهش یافته است. ضریب مقاومت افزون در نمونه‌ها از سازه‌ی ۳ به ۹ طبقه به طور میانگین از ۳/۹۴ به ۳/۲۹ کاهش، ولی ضریب شکل‌پذیری در نمونه‌ها از سازه‌ی ۳ به ۹ طبقه به طور میانگین از ۳/۵۶ به ۴/۰۷ افزایش یافته است.

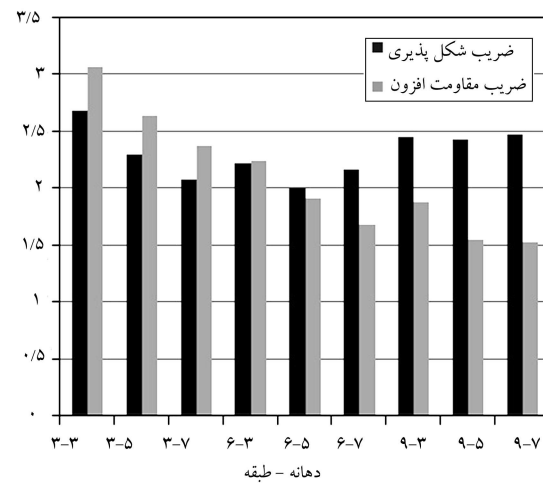
۶. نتیجه‌گیری

در مطالعه‌ی انجام شده که با استفاده از ۹ مدل سازه‌ی فولادی قاب خمشی به همراه مهاربند و میراگر اصطکاکی پال انجام شده است، به تعیین ضریب رفتار ناشی از میراگر اصطکاکی پال اقدام شده است. برای این کار از تحلیل غیرخطی استاتیکی بر مبنای تجدیدنظر اول ویرایش اول نشریه‌ی ۳۶۰ استفاده شده است. همچنین به بررسی مدل‌ها و تعیین منحنی نیرو- تغییرمکان آنها تحت تحلیل دینامیکی غیرخطی فراینده پرداخته و برای رسیدن به این منظور، ۳۶ تحلیل غیرخطی استاتیکی و دینامیکی انجام شده است.

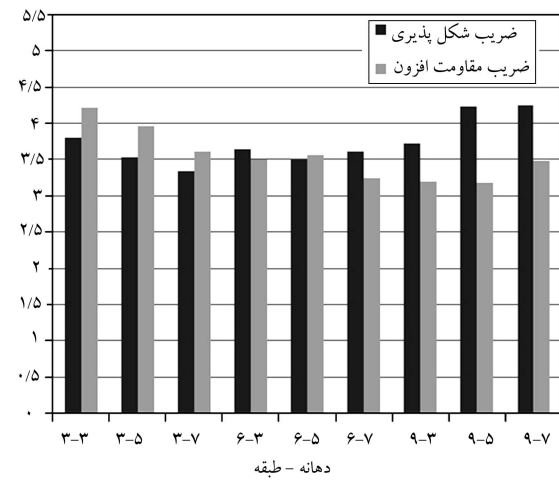
از نتایج حاصل از منحنی پوش‌اور مشاهده می‌شود، سازه پس از رسیدن به تغییرمکان هدف، دارای ظرفیت برابر لرزه‌ی مناسبی است، لذا تا حد اینمی جانی هل داده شده و در آن مرحله مورد ارزیابی قرار گرفته است، که این امر افزایش ضریب رفتار را دستکم حدود ۹۵٪ نسبت به حد تغییرمکان هدف در پی داشته است. ضریب رفتار این سیستم را می‌توان براساس حد اینمی جانی در نظر گرفت. در حد اینمی جانی، در تمامی نمونه‌ها مقدار ضریب رفتار تا حدود ۱۳۵٪ نسبت به ضریب رفتار سیستم قاب خمشی تعیین شده در پیش‌نویس استاندارد ۲۸۰۰ که ۵ است، افزایش مشاهده می‌شود. در این پژوهش، ضریب رفتار قاب بدون میراگر نیز مورد بررسی مشاهده می‌شود. در این پژوهش، ضریب رفتار قاب بدون میراگر



شکل ۱۷. وضعیت تشکیل حلقه‌ی هیسترزیس میراگر در سازه‌ی ۶ طبقه‌ی ۵ دهانه در تحلیل دینامیکی غیرخطی.



شکل ۱۸. ضرایب شکل‌پذیری و مقاومت افزون در تمامی مدل‌ها در حد تغییرمکان هدف.



شکل ۱۹. ضرایب شکل‌پذیری و مقاومت افزون در تمامی مدل‌ها در حد اینمی جانی.

جدول ۱. مقادیر مهم به دست آمده از منحنی ظرفیت جهت تعیین ضریب رفتار در حد تغییر مکان هدف.

نمونه‌ها	بهینه	برش پایه (کیلونیوتن)	برش پایه (C _y)	بار لغزش	برش پایه‌ی تراز (Cw)	ضریب مقاومت افزون (R _s)	Δ _m	Δ _y	ضریب شکل پذیری (R _μ)	ضریب ضریب رفتار
سازه‌ی ۳ طبقه‌ی ۳ دهانه	۱۱۰,۱۵	۵۳۱,۸۰	۱۷۲,۷۵	۳,۰۶	۳,۴۱	۱,۰۰	۲,۴۱	۲,۴۱	۲,۶۸	۸,۲۱
سازه‌ی ۳ طبقه‌ی ۵ دهانه	۱۳۳,۵۷	۷۶۰,۶۰	۲۸۹,۵۸	۲,۶۳	۳,۴۱	۱,۲۱	۲,۸۱	۲,۲۹	۲,۲۹	۶,۰۱
سازه‌ی ۳ طبقه‌ی ۷ دهانه	۱۵۱,۱۰	۹۶۱,۷۶	۴۰۵,۴۲	۲,۳۷	۳,۴۱	۱,۳۷	۲,۴۹	۲,۰۷	۲,۰۷	۴,۹۲
سازه‌ی ۶ طبقه‌ی ۳ دهانه	۱۳۵,۴۴	۶۷۲,۹۵	۳۰۰,۳۶	۲,۲۴	۵,۸۴	۲,۴۶	۲,۳۸	۲,۲۲	۲,۲۲	۴,۹۸
سازه‌ی ۶ طبقه‌ی ۵ دهانه	۱۴۹,۹۴	۹۵۶,۷۹	۵۰۰,۶۱	۱,۹۱	۵,۸۴	۲,۷۶	۲,۱۲	۲,۰۰	۲,۰۰	۳,۸۲
سازه‌ی ۶ طبقه‌ی ۷ دهانه	۱۳۲,۲۹	۱۱۷۸,۵۲	۷۰۰,۸۵	۱,۶۸	۵,۸۴	۲,۵۴	۲,۳۰	۲,۱۶	۲,۱۶	۳,۶۳
سازه‌ی ۹ طبقه‌ی ۳ دهانه	۱۲۶,۹۳	۷۳۳,۷۹	۳۹۰,۰۶	۱,۸۸	۸,۱۸	۳,۷۷	۲,۱۷	۲,۴۵	۲,۴۵	۴,۲۳
سازه‌ی ۹ طبقه‌ی ۵ دهانه	۱۰۰,۷۴	۱۰۰,۷۹	۶۵۰,۱۰	۱,۰۵	۸,۱۸	۳,۴۹	۲,۳۴	۲,۴۳	۲,۴۳	۳,۷۸
سازه‌ی ۹ طبقه‌ی ۷ دهانه	۱۱۳,۸۶	۱۳۹۲,۶۲	۹۱۰,۱۴	۱,۰۳	۸,۱۸	۳,۴۳	۲,۳۸	۲,۴۷	۲,۴۷	۳,۷۸

جدول ۲. مقادیر مهم به دست آمده از منحنی ظرفیت جهت تعیین ضریب رفتار در حد ایمنی جانی.

نمونه‌ها	بهینه	برش پایه (کیلونیوتن)	برش پایه (C _y)	بار لغزش	ضریب مقاومت افزون (Cw)	ضریب مقاومت افزون (R _s)	Δ _m	Δ _y	ضریب شکل پذیری (R _μ)	ضریب ضریب رفتار
سازه‌ی ۳ طبقه‌ی ۳ دهانه	۱۱۰,۱۵	۷۳۳,۴۵	۱۷۲,۷۵	۴,۲۲	۶,۱۹	۱,۱۴	۵,۴۰	۳,۸۰	۳,۸۰	۱۶,۰۶
سازه‌ی ۳ طبقه‌ی ۵ دهانه	۱۳۳,۵۷	۱۱۵۰,۰۸	۲۸۹,۵۸	۳,۹۷	۶,۵۵	۱,۳۵	۴,۸۶	۳,۵۳	۳,۵۳	۱۴,۰۲
سازه‌ی ۳ طبقه‌ی ۷ دهانه	۱۵۱,۱۰	۱۴۶۷,۹۹	۴۰۵,۴۲	۳,۶۲	۶,۳۷	۱,۴۱	۴,۵۱	۳,۳۴	۳,۳۴	۱۲,۰۹
سازه‌ی ۶ طبقه‌ی ۳ دهانه	۱۳۵,۴۴	۱۰۵۳,۲۹	۳۰۰,۳۶	۳,۵۱	۱۱,۶۳	۲,۸۳	۴,۱۱	۳,۶۴	۳,۶۴	۱۲,۷۷
سازه‌ی ۶ طبقه‌ی ۵ دهانه	۱۴۹,۹۴	۱۷۸۴,۷۱	۵۰۰,۶۱	۳,۵۷	۱۳,۹۲	۳,۵۴	۳,۹۴	۳,۵۰	۳,۵۰	۱۲,۴۹
سازه‌ی ۶ طبقه‌ی ۷ دهانه	۱۳۲,۲۹	۲۲۷۷,۳۴	۷۰۰,۸۵	۳,۲۵	۱۳,۶۷	۳,۴۵	۴,۰۹	۳,۶۲	۳,۶۲	۱۱,۷۶
سازه‌ی ۹ طبقه‌ی ۳ دهانه	۱۲۶,۹۳	۱۲۴۷,۸۰	۳۹۰,۰۶	۳,۲۰	۱۷,۴۳	۴,۸۱	۳,۶۲	۳,۷۲	۳,۷۲	۱۱,۸۹
سازه‌ی ۹ طبقه‌ی ۵ دهانه	۱۰۰,۷۴	۲۰۶۶,۳۹	۶۵۰,۱۰	۳,۱۸	۲۰,۱۰	۴,۸۲	۴,۱۷	۴,۲۴	۴,۲۴	۱۳,۴۷
سازه‌ی ۹ طبقه‌ی ۷ دهانه	۱۱۳,۸۶	۳۱۶۴,۶۸	۹۱۰,۱۴	۳,۴۸	۲۱,۷۷	۵,۲۰	۴,۱۸	۴,۲۵	۴,۲۵	۱۴,۷۸

جدول ۳. مقادیر ضرایب رفتار در سازه‌ی بدون میراگر در حد ایمنی جانی.

سازه‌ی ۹ طبقه							سازه‌ی ۶ طبقه							سازه‌ی ۳ طبقه							نمونه‌ها
۷ دهانه	۵ دهانه	۳ دهانه	۷ دهانه	۵ دهانه	۳ دهانه	۷ دهانه	۵ دهانه	۳ دهانه	۷ دهانه	۵ دهانه	۳ دهانه	۷ دهانه	۵ دهانه	۳ دهانه	۷ دهانه	۵ دهانه	۳ دهانه	۷ دهانه	۵ دهانه	۳ دهانه	
۳,۰۷	۳,۵۰	۳,۳۴	۳,۴۵	۳,۵۶	۳,۳۹	۳,۶۸	۳,۷۴	۳,۵۵	۳,۷۴	۳,۵۵	۳,۵۵	۳,۶۸	۳,۷۴	۳,۵۵	۳,۷۴	۳,۵۵	۳,۵۵	۳,۷۴	۳,۵۵	۳,۷۴	۳,۵۵
۱,۰۰	۱,۱۹	۱,۲۳	۱,۱۵	۱,۲۴	۱,۲۲	۱,۰۹	۱,۱۳	۱,۱۶	۱,۰۹	۱,۱۳	۱,۱۶	۱,۰۹	۱,۱۳	۱,۱۶	۱,۰۹	۱,۱۳	۱,۱۶	۱,۰۹	۱,۱۳	۱,۱۶	۱,۰۹
۳,۰۷	۴,۱۴	۴,۰۹	۳,۹۴	۴,۳۹	۴,۱۱	۳,۹۸	۴,۲۰	۴,۱۰	۳,۹۸	۴,۲۰	۴,۱۰	۳,۹۸	۴,۲۰	۴,۱۰	۳,۹۸	۴,۲۰	۴,۱۰	۳,۹۸	۴,۲۰	۴,۱۰	۳,۹۸

مقاومت افزون در تعیین ضریب رفتار در این سازه‌ها دارد، که این تأثیر به حدود ۶۰٪ می‌رسد.

مقدار ضریب مقاومت افزون در سازه‌های ۳، ۶ و ۹ طبقه، ۳/۵۵ و ضریب شکل‌پذیری، ۳/۷۳ و مقدار ضریب رفتار در سیستم‌های به همراه میراگر به دلیل ظرفیت جذب انرژی بالا به طور محافظه‌کارانه معادل ۱۲ پیشنهاد می‌شود.

۳۶۰، ضریب رفتاری در حدود ۴ به دست آمده است، که حدود ۲۰٪ کمتر از مقدار پیشنهادی در پیش‌نویس نهایی استاندارد ۲۸۰۰ است. در سازه‌ی ۳ طبقه، ضریب مربوط به مقاومت افزون، تأثیر بیشتری نسبت به ضریب شکل‌پذیری در تعیین ضریب رفتار در این سازه‌ها دارد، که تأثیر آن در حدود ۱۴٪ است. اما در سازه‌های ۶ و ۹ طبقه، ضریب مربوط به شکل‌پذیری تأثیر بیشتری نسبت به ضریب

منابع (References)

1. *Structural Engineering*, John Wiley & Ltd., London (UK) and New York (USA) (1997).
2. Constantinou, M.C., Soong, T.T. and Dargush, G.F. "Passive energy dissipation systems for structural design and retrofit", Monograph Series No. 1, Multidisciplinary Center for Earthquake Engineering Research, University at Buffalo, State University of New York at Buffalo, Buffalo, State University of New York at Buffalo, Buffalo, N.Y. (1998).
3. "SEAOC- Structural Engineers Association of Northern California, Recommended Lateral Force Requirements and Commentary, California (1992).
4. SEAOC- Structural Engineers Association of California, Recommended Lateral Force Requirements and Commentary, Sacramento, G.A. (1999)
5. FEMA- Federal Emergency Management Agency, NEHRP Guidelines for the Seismic Rehabilitation of Buildings and NEHRP Commentary on the Guidelines for the - Seismic Rehabilitation of Buildings Reports No. FEMA 273 and 274, Washington D.C. (1997).
6. NEHRC- National Earthquake Hazard Reduction Program, NEHRC Recommended Provision for Seismic Regulations for New Buildings and other Structures Federal Emergency Management Agency, Report no., FEMA 302, Washington D.C. (1997).
7. ATC, *Structural Response Modification Factors: ATC19*, Applied Technology Council, Redwood city, California, pp. 5-32 (1995).
8. *National Earthquake Hazard Reduction Program NEHRC Recommended Provisions for Seismic Regulations for New Buildings and other Structures*, Appendix to Chapter13, with Damping Systems, Federal Emergency Management Agency, Washington, D.C. (2003).
9. VaseghiAmiri J. and Azazy, A. "Determine the response modification factor of frame and pall friction damper with experimental Test", *First National Conference on Disaster Management, Earthquake and Vulnerability of Places*, Lifeline (2012).
10. Mirzaei Fard, H., Mirtaheri, M. and Rahmani, H. "Determine the response modification factor of structures with cylindrical friction dampers", *9th International Congress on Civil Engineering* (2013).
11. Mahmoudi, M. and Abdi, M.G. "Evaluating response modification factors of TADAS frames", *Journal of Constructional Steel Research*, **71**, pp. 162-170 (2012).
12. Mahmoudi, M. and Zaree, M. "Determination of the response modification factors of buckling restrained braced frames", *Proceded Engineering*, **54**, pp. 222-231 (2013).
13. Vaseghi Amiri, J. and Esmaeiltabar Nesheli, P. "Response modification factor of chevron braced frame with pall friction damper", *International Journal of Engineering*, **26**(2), pp. 127-136 (2013).
14. Miri, M. and Kahkeshan, A. "Seismic evaluation and studying the effect of friction damper", *International Journal of Engineering & Technology*, **3**(2), pp. 137-154 (2014).
15. BHRC, *Iranian Code of Practice for Seismic Resistance Design of Buildings: Standard No. 2800*, 4rd Edition for Approval, Building and Housing Research Center (2014).
16. National Building codes, Section 6, *Loads on Buildings*, Office of the National Building provisions (1392).
17. *National Building Codes*, Section 10, Design & Construction of Steel Buildings and Office of the National Building Provisions (1392).
18. *Instruction for Seismic Rehabilitation of Existing Buildings*, NO. 360 (First Revision), Islamic Republic of Iran, Office of Deputy for Strategic Supervision, Department of Technical Affairs (2014).
19. *Commentary of Instruction for Seismic Rehabilitation of Existing Buildings*, NO: 361, Office of Deputy for Strategic Supervision, Bureau of Technical Execution System (2010)
20. ATC34, *A critical Review of Current Approaches to Earthquake Resistant Design*, ATC-34, Applied Technology Council, Redwood City, California (1995).
21. Whittaker, A., Hart, G. and Rojahn, C. "Seismic response modification factors", *Journal of Structural Engineering*, **125**(4), pp. 438-44 (1999).
22. Filiaitralut, A. and Cherry, S. "Seismic design spectra for friction-damped structures", *Journal of Structural Engineering*, **116**(5), pp. 1334-1355 (1990).